

# 火焰原子发射法测定硝酸铀酰中的微量铯

杨思奇 许勇强 温湘玉

(兰州核燃料厂)

关键词 铯，硝酸铀酰，火焰原子发射光谱。

## 一、引言

对铀化物中的杂质元素，化学工作者通常是先将铀基体分离掉，然后再用分光光度、原子吸收等方法进行测定。但，迄今我们没有见到用原子吸收分光光度计以 FAES 为分析手段的测定铀化合物中铯元素的报道。

铯的火焰原子吸收法测定，灵敏度较低。欲用加大样品量的方式去适应测定需要，势必给萃取分离带来困难。而具有较高灵敏度的 FAES 法可以满足测定要求。因铯的电离电位很低 (3.95 eV)，测定时存在严重的电离效应的不利影响，我们试图加入钾的硝酸盐予以消除；这一尝试终于取得了令人满意的效果。不过，出于对样品测定时信噪比的考虑，鉴于背景发射随钾盐量增加而增大，因而严格控制其钾的加入量是至关重要的。

## 二、实验部分

### 1. 仪器与试剂

- (1) 岛津 AA-610 S 型原子吸收分光光度计及相应附件。
- (2) 石英或聚四氟乙烯蒸发皿。
- (3) 50 ml 锥形分液漏斗。
- (4) 铯标准储备溶液 1 mg/ml：称取硝酸铯（光谱纯）0.3666 g 于 150 ml 烧杯中，加水溶解移入 250 ml 容量瓶，加 1.6 ml 硝酸稀释至刻度。
- (5) 铯工作标准溶液 1, 2 μg/ml：均由铯标准储备液，配制成 0.1 mol/l 硝酸溶液。
- (6) 钾电离缓冲剂 10 mg/ml：称取 12.93 g 硝酸钾（优级纯）于 150 ml 烧杯中，用水溶解移入 500 ml 容量瓶，加硝酸 3.2 ml 并稀释至刻度。
- 钾电离缓冲剂 5 mg/ml：取上述 (10 mg/ml) 钾溶液 100 ml 于 200 ml 容量瓶中，加硝酸 75 ml 用水稀释至刻度。
- (7) TBP (分析纯)：经纯化处理后备用。
- (8) CCl<sub>4</sub> (分析纯)：经纯化处理后备用。
- (9) TBP-CCl<sub>4</sub>：用纯化过的 TBP 与 CCl<sub>4</sub> 以 1:4 比例配制。
- (10) 6 mol/l 硝酸：取优级纯硝酸经亚沸蒸馏纯化后配制。
- (11) 铀溶液：取金属铀（须经清洗处理）用硝酸溶解或直接称取硝酸铀酰，配成含铀为 0.2—0.3 g/ml 的水溶液。

## 2. 操作步骤

(1) 标准曲线的绘制 于一系列 10 ml 容量瓶中，分别加入铯标准溶液 ( $2 \mu\text{g}/\text{ml}$ ) 0, 0.25, 0.50, 1.00, 1.50, 2.00, 2.50 ml, 加入钾 ( $10 \text{mg}/\text{ml}$ ) 电离缓冲剂 1.00 ml, 用  $0.1 \text{mol}/\text{l}$  硝酸稀释至刻度；在“AA—610 S”于波长为 852.1 nm 处进行发射测定，然后绘制曲线。

(2) 样品处理<sup>[1]</sup> a. 取相当于含铀量为 0.50 g 的硝酸铀酰溶液于石英皿中，在电热板上中温（约 90—100°C）蒸干。b. 用 9 ml  $6 \text{mol}/\text{l}$  硝酸溶解残渣，并分数次洗涤石英皿；将样品移入加有 1.00 ml 钾 ( $5 \text{mg}/\text{ml}$ ) 电离缓冲剂的分液漏斗中。c. 加 TBP 8 ml 萃取，分出水相。d. 有机相分别再用 5, 4, 4 ml  $6 \text{mol}/\text{l}$  硝酸分三次萃取，弃去有机相；然后将水相合并于另一分液漏斗中。e. 加 5 ml TBP- $\text{CCl}_4$  (1:4) 萃取，弃去有机相。f. 两次加入  $\text{CCl}_4$  4 ml 萃取，弃去有机相。g. 将水相置于 50 ml 烧杯中蒸干，残渣用 5 ml  $0.1 \text{mol}/\text{l}$  硝酸溶解；然后与标准系列在相同仪器条件下，于波长 852.1 nm 处同时测定并计算铯含量。

## 三、结果与讨论

### 1. 电离效应的影响

用单纯的铯标准作发射测定，灵敏度较低。并且标准系列测定作图所得到的是一条不通过原点的曲线，该曲线相交于横坐标轴，呈现出负偏差值；但随着钾盐的加入这种情况便得到改善。显然，这一现象的出现与碱金属所特有的原子结构有关：由于铯的电离能较低 (38 kJ/mol)，在火焰的高温作用下，发生了电离。电离结果，导致铯原子浓度降低，因而造成用 852.1 nm 原子谱线测定铯时，灵敏度下降。当加入钾盐之后，钾在火焰中的情况与铯一样大量被电离；电离的结果使火焰中的电子浓度急剧增高；这反过来有效地抑制了铯的电离，于是钾盐的加入不但提高了铯的发射测定的灵敏度，而且使测定数值趋于稳定，如图 1, 2 所示。

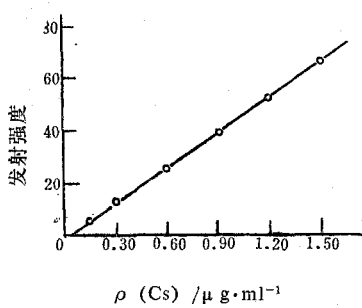


图 1 电离作用的结果使曲线不通过原点  
Fig. 1 Calibration graph—A straight line not passed through the origin of coordinates

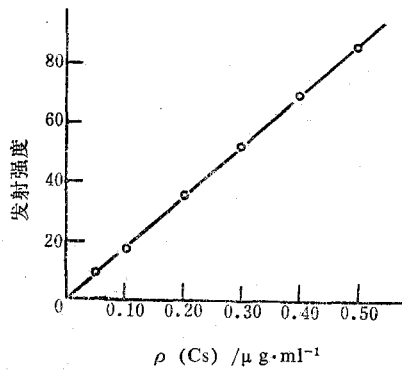


图 2 钾盐的加入使曲线恢复正常  
Fig. 2 Calibration graph—with addition of potassium

## 2. 电离缓冲剂钾盐加入量的影响

钾盐的加入对抑制铯的电离起了决定性作用，而钾加入量的大小又是一个关键。加入量太少不足以消除电离作用的不利影响；然而随着钾加入量的递增，背景发射亦逐渐增大，会导致信噪比不断下降。结果如表 1 所列。

表 1 钾的加入与铯的发射测定  
Table 1 Effect of potassium on cesium emission intensity

Cs 加入量/ $\mu\text{g}\cdot\text{ml}^{-1}$	测 定 读 数					
0	0	2	3.3	5.3	8.4	14.5
0.05	0.7	6.0	6.8	7.6	8.3	9.0
0.10	1.9	12.3	13.7	15.2	—	—
0.20	4.5	25.0	27.7	31.0	—	—
0.30	7.3	37.5	40.7	45.3	—	—
0.40	9.8	50.0	54.7	60.2	—	—
0.50	14.0	63.5	68.2	76.2	83.1	91.5
K 加入量/ $\text{mg}\cdot\text{ml}^{-1}$	0	0.5	1.0	2.0	4.0	8.0

## 3. 盐酸的影响

试验表明，盐酸介质对改善曲线的线性关系有积极作用，但随着酸度的增大，发射值有逐渐降低的趋势，同时在测定中读数不稳定。结果列于表 2。

表 2 铯在盐酸介质中的发射测定  
Table 2 Effect of hydrochloric acid on cesium emission intensity

Cs 加入量/ $\mu\text{g}\cdot\text{ml}^{-1}$	测 定 读 数					
0	0	0	0.2	0.3	3.5	3.6
0.05	1.6	2.3	2.1	2.0	7.7	6.2
0.10	3.0	4.5	4.1	3.7	15.4	13.4
0.20	6.8	8.3	8.0	7.9	29.4	28.2
0.30	8.7	12.3	12.2	13.0	37.9	40.2
0.40	13.0	16.3	16.2	16.7	57.9	58.2
0.50	19.4	21.0	21.4	21.4	70.9	70.9
基体组成 去离子水	不加 K	不加 K	不加 K	加 K	加 K	加 K
	HCl 0.05mol/l	HCl 0.10mol/l	HCl 0.20mol/l	HCl 0.05mol/l	HCl 0.10mol/l	HCl 0.20mol/l

注：加 K 1mg/ml。

## 4. 磷酸的影响

磷酸对铯的测定有一定影响，酸度增大发射值降低。结果如表 3 所列。

表 3 铯在磷酸介质中的发射测定  
Table 3 Effect of phosphoric acid on cesium emission intensity

基体组成		测 定 读 数			
$H_3PO_4$ 0.05mol/l	不加 K	11.7	11.5	11.5	11.5
$H_3PO_4$ 0.20mol/l	不加 K	9.0	9.1	8.9	9.1
$H_3PO_4$ 0.05mol/l	加 K	52.5	51.0	51.0	50.9
$H_3PO_4$ 0.20mol/l	加 K	50.5	50.0	50.0	49.8

注: Cs 加入量: 0.3μg/ml, K 加入量: 1mg/ml。

### 5. 硝酸的影响

铯在硝酸介质中测定比较理想, 实验表明: 在 0.05—0.20 mol/l 的酸度范围内发射测定的读数是稳定的。结果列于表 4。

表 4 铯在硝酸介质中的发射测定  
Table 4 Effect of nitric acid on cesium emission intensity

Cs加入量/μg·ml <sup>-1</sup>	测 定 读 数					
	0.1	0.2	0.1	3.8	3.8	3.8
0.05	1.9	2.0	1.8	8.5	8.5	8.6
0.10	3.9	4.0	4.1	17.2	17.2	17.4
0.20	7.8	7.8	8.0	34.2	34.7	34.4
0.30	11.4	11.6	13.0	50.9	51.4	51.3
0.40	15.8	15.6	16.3	68.0	68.2	68.2
0.50	20.0	19.0	21.0	85.2	85.1	85.5
基体组成	不加 K	不加 K	不加 K	加 K	加 K	加 K
	$HNO_3$ 0.05mol/l	$HNO_3$ 0.10mol/l	$HNO_3$ 0.20mol/l	$HNO_3$ 0.05mol/l	$HNO_3$ 0.10mol/l	$HNO_3$ 0.20mol/l

注: 加 K 1mg/ml。

### 6. 共存元素的影响

铯的共振发射谱线 852.1 nm 处于近红外区, 是波长最长的元素; 几乎没有与之相邻的其他谱线。因此对铯的 FAES 光谱法测定十分有利。尽管我们加入了 Fe, Ni, Cu, Mg, Mn, Cr, Ca, K 和 Na 等九种元素, 均未发现谱线干扰和第三元素的影响。结果列于表 5。

### 7. 标准曲线与工作曲线

标准曲线与工作曲线基本相同, 这表明萃取分离过程中被检元素铯基本无损失, 同时

表 5 共存元素与铯的发射读数  
Table 5 Effect of coexistent ions on cesium emission intensity

共存元素	加入100 $\mu\text{g}$ 时的读数	加入200 $\mu\text{g}$ 时的读数	加入1000 $\mu\text{g}$ 时的读数	加入2000 $\mu\text{g}$ 时的读数	Cs标准(0.2 $\mu\text{g}\cdot\text{ml}^{-1}$ )读数
Fe	45.5	46.3	45.3	45.5	45.5
Ni	45.5	45.3	45.8	45.3	45.5
Cu	45.5	46.5	46.0	46.0	45.5
Mn	45.5	46.5	46.5	46.9	45.5
Mg	45.5	46.7	46.2	46.5	45.5
K	45.5	45.3	45.5	45.5	45.5
Ca	45.5	46.7	44.7	41.7	45.5
Na	45.5	44.7	45.2	45.5	45.5
混合	—	—	45.0	—	45.5

基体组成: Cs, 0.2 $\mu\text{g}/\text{ml}$ ; K, 1mg/ml; HNO<sub>3</sub>, 0.1mol/l。

也说明试验所选定的条件是合理的。

相应的曲线如图 3 所示。

### 8. 加入回收试验

向基体中加入铯标准, 按“测定步骤”操作, 所得数据用标准曲线查得值进行计算。结果列于表 6。

### 9. 精密度试验

取曲线下限点 0.05  $\mu\text{g}/\text{ml}$  及中点 0.3  $\mu\text{g}/\text{ml}$  带铀基体, 以样品测定步骤操作, 测定数据列于表 7。

### 10. 样品分析

取硝酸铀酰[UO<sub>2</sub>(NO<sub>3</sub>)<sub>2</sub>·6H<sub>2</sub>O]样品 1.10 g

按分析步骤进行操作, 测定结果均小于测定下限(表 8)。

表 6 铯的加入回收试验  
Table 6 Recovery of Cs from spiked samples

Cs加入量/ $\mu\text{g}\cdot\text{ml}^{-1}$	0.05	0.10	0.20	0.30	0.40	0.50
测得值/ $\mu\text{g}\cdot\text{ml}^{-1}$	0.049	0.095	0.190	0.290	0.380	0.480
	0.044	0.099	0.200	0.290	0.390	0.520
	0.054	0.100	0.220	0.300	0.390	0.490
	0.049	—	—	—	—	0.50
	0.051	—	—	—	—	0.50
平均值	0.049	0.098	0.200	0.290	0.390	0.50
平均回收率/%	98	98	100	97	97	100

表 7 铯的精密度试验  
Table 7 Reproducibility of determinations

Cs加入量/ $\mu\text{g}\cdot\text{ml}^{-1}$	测定读数			S(标准偏差)	CV(波动系数)
0.05	5.8	5.8	6.0	0.16	2.7
	6.2	6.0	5.8		
0.30	36.5	37.5	36.5	0.16	1.7
	36.5	35.9	35.8		

表 8 硝酸铀酰样品中铯的测定数据  
Table 8 Results obtained for the analysis of Cs in samples

样 品 编 号	测 定 读 数*	Cs标准/ $0.05\mu\text{g}\cdot\text{ml}^{-1}$	测 定 结 果/ppm
HX-610	0.3 0.3 1.1 0.7	5.9	<0.5
HX-841	0.3 0.4		<0.5

\* 经过10余批样品的测定数据基本相同。

#### 四、小 结

- 测定溶液中，保证浓度为 1 mg/ml 的钾含量，为消除电离效应所造成的不利影响的最低加入量。
- 在铯的 FAES 法测定中，选用 0.1 mol/l 的硝酸溶液是较为理想的测定介质。
- 500 倍于 Cs 的共存元素 Fe, Ni, Cu, Mn, Mg, Cr, Ca 和 Na 的存在不干扰铯的测定。
- 样品分析时，可用标准曲线查得值进行结果计算。
- 本方法精密度  $<\pm 3\%$ ；当样品量为 0.5 g 时，测定范围为 0.5—5 ppm；铯的回收率为 97—100%。

经实际生产考验表明方法适于铀化物中微量铯的测定。

#### 参 考 文 献

[1] Annual Book of ASTM Standards. Part 12.01, C 761-83 (1983).

(编辑部收到日期：1988年2月10日)

[下转第 67 页, Continued, on p.67]

## ANALYSIS OF PLUTONIUM VALENCE BY PMBP EXTRACTION IN NITRIC ACID MEDIUM

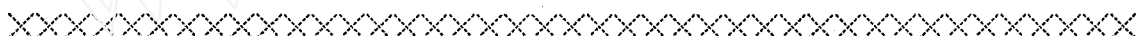
WEI XIUFANG ZHANG QINGXUAN

(*China Institute of Atomic Energy, P. O. Box 275, Beijing*)

### ABSTRACT

By taking advantage of very high distribution coefficient of Pu(IV) and low distribution coefficient of Pu(III) and Pu(VI), an analytical method of Pu(III), Pu(IV) and Pu(VI) in nitric acid medium is developed. In which PMBP is used as extractant, urea as the stabilizer of Pu(III) and sodium nitrite as the oxidation agent of Pu(III). The experimental results show that analytical procedures for determinating plutonium valence are satisfactory.

Key words PMBP, Pu(III), Pu(IV), Pu(VI).



[上接第 76 页, Continued from p. 76]

## DETERMINATION OF TRACE CESIUM IN URANYL NITRATE BY FLAME ATOMIC EMISSION SPECTROPHOTOMETRY

YANG SIQI XU YONGQIANG WEN XIANGYU

(*Lanzhou Uranium Enrichment Plant*)

### ABSTRACT

A method is described for the determination of trace cesium in uranyl nitrate by flame atomic emission spectrophotometry. The ionization interferences can be suppressed by the addition of potassium. The interferences of coexisting elements are studied. Concentration ranges from 0.5 to 5 ppm. The recovery and coefficient of variation are 97—100% and 3% respectively.

Key words Cesium, Uranyl nitrate, Flame atomic emission spectrophotometry.